

## АДАПТИВНЫЙ ИТЕРАТИВНЫЙ АЛГОРИТМ ДЛЯ СИНТЕЗА ФОКУСАТОРОВ

### ВВЕДЕНИЕ

Известный итеративный алгоритм Герчберга-Секстона [1] имеет целый ряд интересных приложений для решения задач анализа и синтеза когерентных световых полей.

Так в работе [2] алгоритм Герчберга-Секстона (ГС) использовался для расчета фазового профиля одномерной дифракционной решетки, мультилиптирующей излучение на произвольное число порядков дифракции с заданным распределением энергии по ним. В [3] использовался алгоритм ГС для расчета фазовой функции элементов плоской оптики, фокусирующих когерентное излучение в заданную область пространства с заданным распределением энергии в этой области.

В данной работе предложен и исследуется новый вариант итеративного алгоритма ГС применительно к задачам синтеза фокусаторов. Показано, что применение некоторой адаптивной подстраивающей процедуры на каждом шаге итеративного процесса позволяет существенно сократить среднеквадратичное отклонение полученного распределения интенсивности от заданного. При этом "плата" за точность в виде потерь энергии, попадающей в область фокусировки, составляет не более 20%.

### АДАПТИВНЫЙ АЛГОРИТМ

Рассмотрим классический вариант алгоритма ГС применительно к расчету фазовой функции пропускания оптического элемента, фокусирующего когерентное излучение в отрезок прямой с равномерным распределением энергии (интенсивности) вдоль отрезка. На каждом шаге итеративного процесса полученное распределение интенсивности  $I_n(\xi)$  в частотной плоскости заменяется на требуемое распределение согласно замене

$$I_0(\xi) = \begin{cases} A, & \xi \in [\xi_1, \xi_2] \\ 0, & \xi \notin [\xi_1, \xi_2]. \end{cases} \quad (1)$$

Распределение интенсивности в области фокусировки представляет собой квадрат модуля преобразования Фурье от фазовой функции пропускания оптического элемента равной

$$f(x) = \begin{cases} B \exp(i\varphi(x)), & x \in [x_1, x_2] \\ 0, & x \notin [x_1, x_2], \end{cases} \quad (2)$$

где  $A, B$  – постоянные. Поэтому интенсивность  $I_n(\xi)$  должна являться аналитической функцией, имеющей вполне определенные минимальный период модуляции и максимальную величину первой производной. Требование скачкообразного поведения интенсивности (1) в зоне фокусировки и равенства нулю ее вне зоны фокусировки снижает скорость сходимости алгоритма ГС и может приводить к расходимости.

Поэтому не хотелось бы сильно искажать аналитический (плавный) характер распределения интенсивности в Фурье-плоскости и, в то же время, применить некоторую подстраивающую процедуру на каждом шаге, чтобы увеличить скорость сходимости и уменьшить ошибку отклонения полученного распределения интенсивности от требуемого.

Предлагается следующая процедура подстройки. На  $n$  шаге итераций в Фурье-плоскости полученная функция интенсивности  $I_n(\xi)$  заменяется на функцию  $\tilde{I}_n(\xi)$  равную

$$\tilde{I}_n(\xi) = \begin{cases} 2 \frac{W_n}{\tilde{W}_n} - I_n(\xi), & \xi \in [\xi_1, \xi_2] \\ I_n(\xi), & \xi \notin [\xi_1, \xi_2], \end{cases} \quad (3)$$

где  $W_n, \tilde{W}_n$  – энергия света на всей оси  $\xi$  и в отрезке  $[\xi_1, \xi_2]$ , соответственно.

Замена (3), как видно, оставляет без изменения полученную на п-м шаге функцию  $I_n(\xi)$  вне отрезка фокусировки и видоизменяет ее только в отрезке  $[\xi_1, \xi_2]$ . Причем таким образом, что почти не меняет гладкости полученной функции. Замена же заключается в аддитивном выравнивании полученного распределения интенсивности: значения функции  $I_n(\xi)$ , превышающие средний уровень, становятся на столько же (или с некоторым коэффициентом) ниже среднего, и наоборот, значения интенсивности, которые ниже среднего, становятся на столько же выше.

Наиболее оптимальным оказалось совместное применение алгоритмов ГС и аддитивного, то есть замен (1) и (3). Поскольку в алгоритме (1) быстро, всего за несколько итераций, почти вся энергия света собирается в заданном отрезке фокусировки, то предлагается начинать итеративный поиск фазовой функции фокусатора с алгоритма ГС, а через несколько итераций, например, когда отношение  $W_n/\tilde{W}_n$  станет близко к единице, продолжить далее итеративный процесс с аддитивной процедурой (3).

#### ЧИСЛЕННЫЕ РЕЗУЛЬТАТЫ

Сравнение алгоритма ГС и его аддитивной модернизации проводилось численно с использованием алгоритма быстрого преобразования Фурье. На рис. 1 показаны результаты работы алгоритма ГС с заменой (1). На рис. 1–1.5 показаны распределения интенсивности в частотной плоскости  $I_n(\xi)$  для итераций с номерами  $n = 1, 4, 7, 10, 13$ , соответственно, и на рис. 1.6 показана фаза  $\varphi_{13}(x)$  фокусатора, формирующего в Фурье-плоскости распределение интенсивности  $I_{13}(x)$ . При этом:  $N = 128$  – общее число отсчетов,  $2N_1 = 16$  – число отсчетов на фокусаторе,  $2M = 32$  – число отсчетов в области фокусировки, то есть отрезок из (1) равен  $[\xi_1, \xi_2] = [-16H, 16H]$ , где  $H$  – дискретизация.

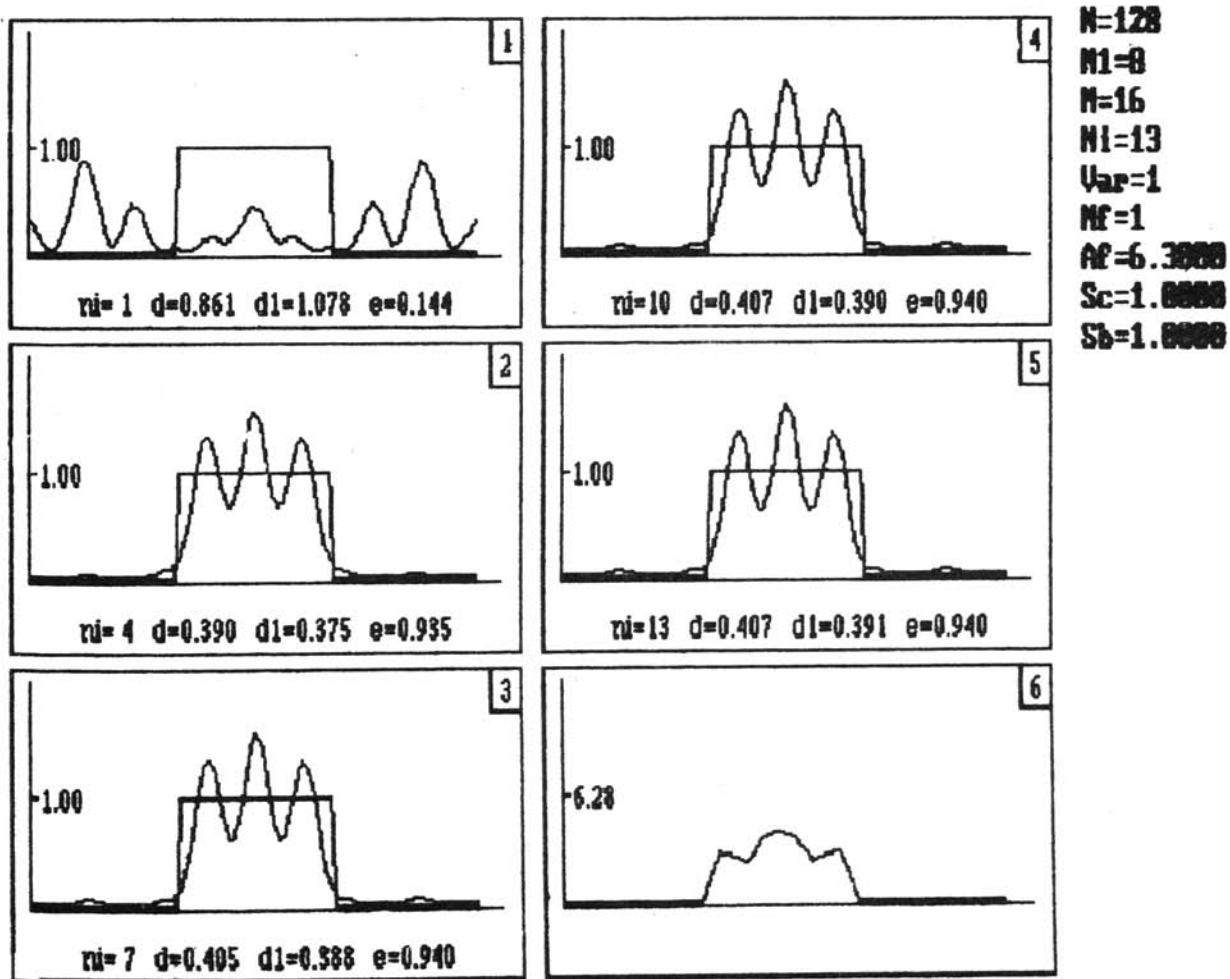


Рис. 1. Результаты применения алгоритма ГС для синтеза фокусатора в отрезок:

1 – 5 – распределения интенсивности в плоскости фокусировки, 6 – полученная фаза фокусатора на 13 шаге

ретность в частотной плоскости,  $A = 1$ ,  $N_i = 13$  – общее число итераций. Начальное распределение фазы на фокусаторе выбиралось чисто случайным с дисперсией равной  $2\pi$ .

Из рис. 1 видно, что при рассматриваемых параметрах фокусировка преобразуется в отрезок, равный двум диаметрам минимального дифракционного пятна. Видно также, что за 13 итераций среднеквадратичная ошибка  $d$  отклонения полученного распределения интенсивности от требуемого равномерного распределения в отрезок  $[\xi_1, \xi_2]$  составляет 41% и энергия  $\tilde{W}_{13}$ , заключенная в отрезке  $[\xi_1, \xi_2]$ , составляет 94% от полной энергии  $W_{13}$ , то есть  $e = \frac{W_{13}}{\tilde{W}_{13}} = 0.94$  (см. рис. 1.5).

На рис. 2 показаны результаты работы аддитивного алгоритма с заменой (3). На рис. 2.1–2.5 показаны полученные распределения интенсивности в частотной плоскости  $I_n[\xi]$  для итераций с номерами  $n = 1, 4, 7, 10, 13$ , и на рис. 2.6 показана фаза  $\varphi_{13}(x)$ . Остальные параметры, относящиеся к рис. 2, такие же как в предыдущем случае. Пунктиром на рис. 2.1–2.5 показаны требуемые распределения интенсивности  $\tilde{I}_n(\xi)$  из (3) для соответствующих номеров итераций.

Из рис. 2.5 видно, что за 13 итераций среднеквадратичная ошибка  $d$  отклонения полученной интенсивности от требуемой (равномерной) составила 13% и отношение энергий равнялось  $e = 81\%$ .

Из сравнения рис. 1 и рис. 2 видно, что применение аддитивной процедуры подстройки в алгоритме ГС приводит к уменьшению ошибки почти в 4 раза, а энергетическая эффективность, то есть часть энергии света, попадающая в заданный отрезок, уменьшается всего на 13%.

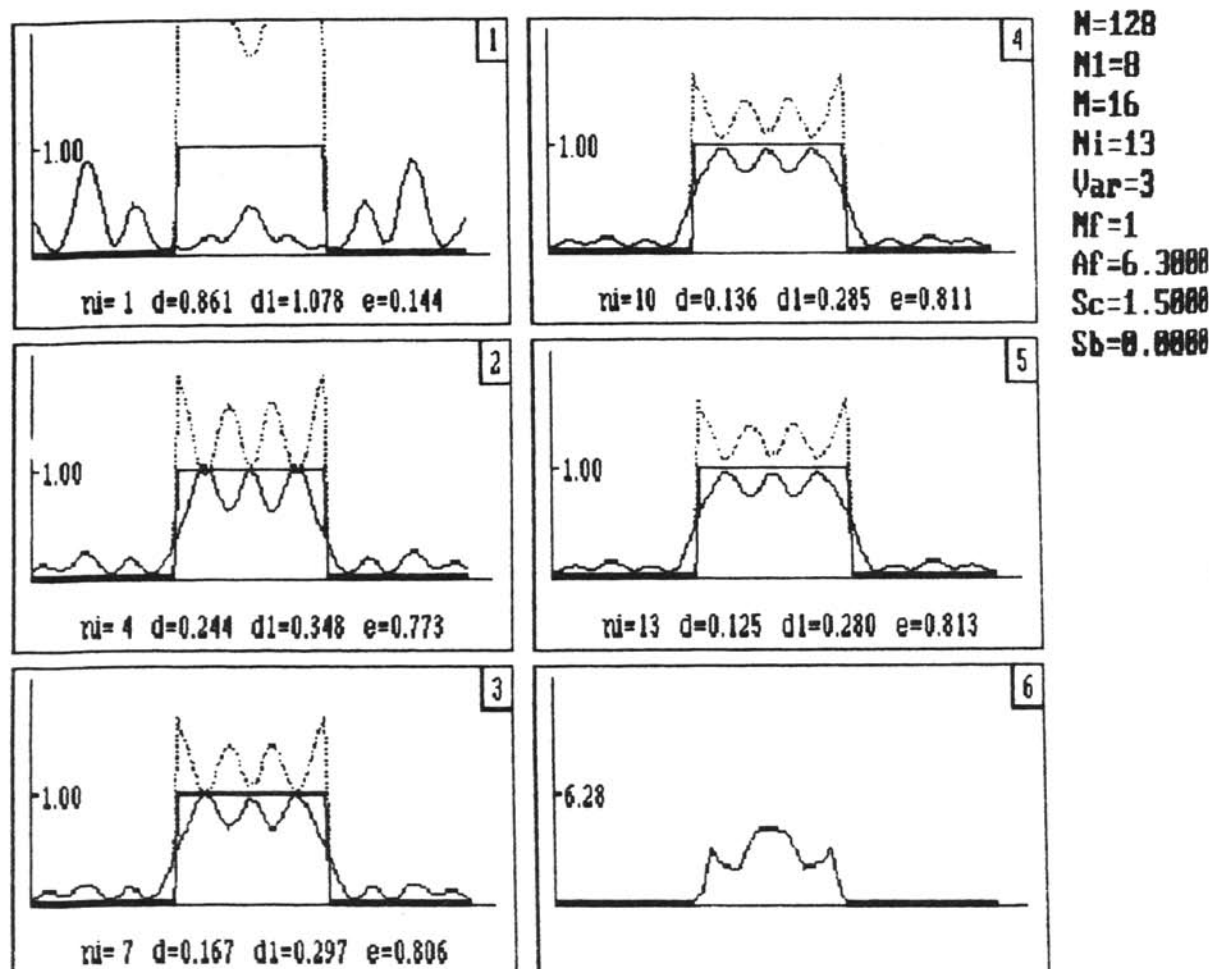


Рис. 2. Результаты применения аддитивного алгоритма для синтеза фокусатора в отрезок:

1–5 – распределения интенсивности в плоскости фокусировки, сплошные линии – полученная интенсивность, пунктирные линии – требуемая интенсивность, 6 – полученная фаза фокусатора на 13 шаге

На рис. 3 показаны результаты совместной работы двух алгоритмов. Первые 5 итераций были проведены с помощью замены (1) (они не показаны на рис. 3), а последующие 13 итераций были проведены с помощью замены (3). На рис. 3.1–3.5 показаны полученные интенсивности  $I_n[\xi]$  в частотной плоскости для номеров итераций  $n = 6, 9, 12, 15, 18$ , и на рис. 3.6 показана фаза фокусатора  $\varphi_{18}(x)$ . Пунктиром показаны требуемые распределения интенсивности  $\tilde{I}_n[\xi]$  для соответствующих номеров итераций. Остальные параметры, относящиеся к рис. 3, те же, что и ранее.

Из рис. 3 видно, что совместное применение алгоритма ГС и адаптивного алгоритма приводит к существенному уменьшению ошибки  $d$  (за 15 итераций ошибка уменьшилась до 3%, рис. 3.4) и при этом энергетическая эффективность осталась на высоком уровне – 76%.

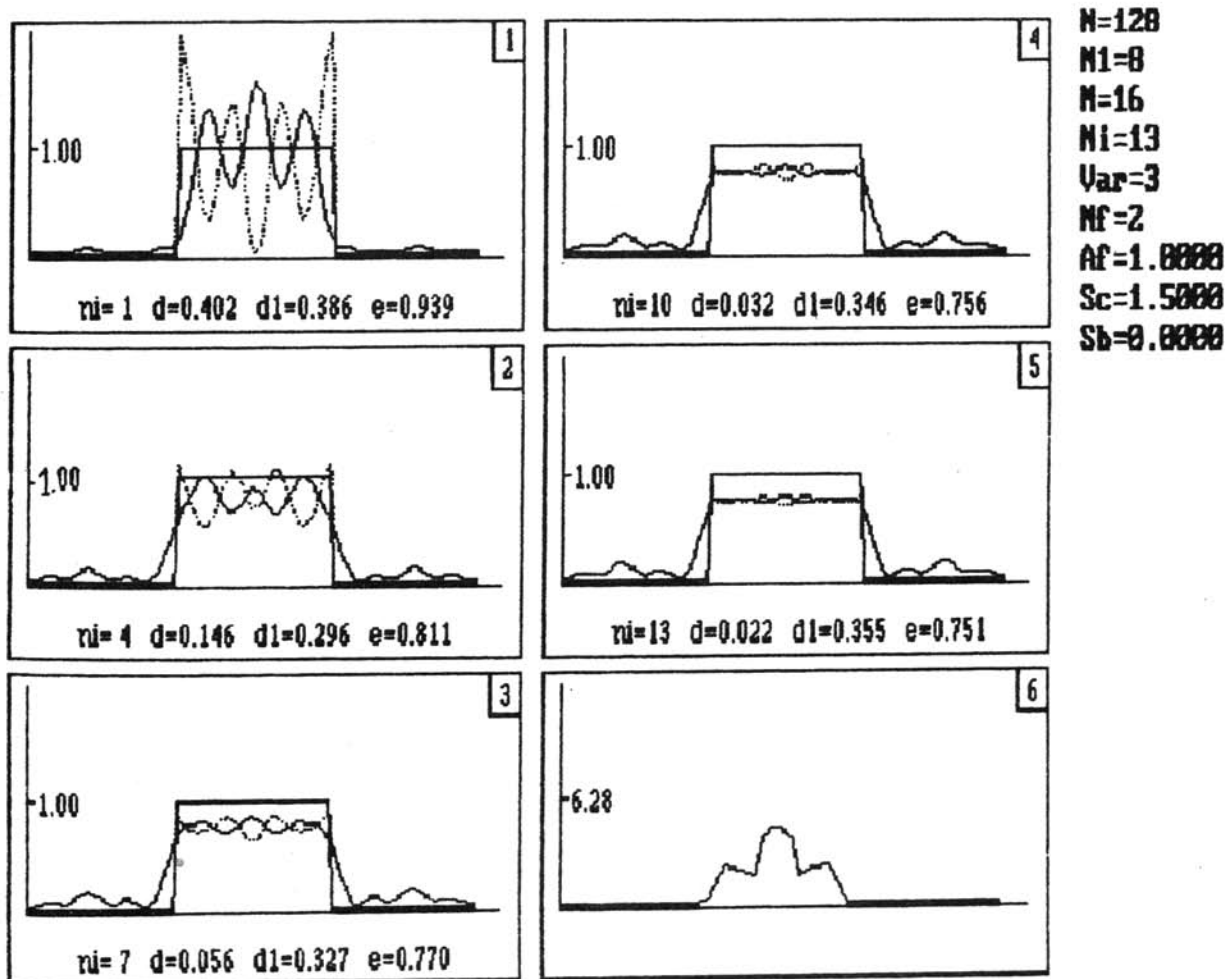


Рис. 3. Результаты применения совместно алгоритма ГС и адаптивного:

1–5 – интенсивность в плоскости фокусировки, сплошные линии – полученная интенсивность, пунктирные – требуемая интенсивность, 6 – полученная фаза на 18 шаге

Заметим в заключение, что продолжение итераций в ситуации, применительной к рис. 1, приводило к слабому росту отклонения  $d$ , а в случае, относящемся к рис. 3, продолжение итераций приводило к дальнейшему уменьшению ошибки.

#### Л и т е р а т у р а

1. Gerchberg R. W., Saxton W. D. Optik, 1972, v. 35, n. 2, p. 237.
2. Березный А. Е., Комаров С. В., Прохоров А. М., Сисакян И. Н., Сойфер В. А. ДАН СССР, 1986, т. 287, № 3, с. 623.
3. Воронцов М. А., Матвеев А. М., Сивоконь В. П. Компьютерная оптика: Сб./МЦНТИ, М., 1987, вып. 1, с. 74.